Низкие динамические потери
Малый заряд обратного восстановления
Разветвленный управляющий электрод для высоких скоростей нарастания тока

Быстродействующий Импульсный Тиристор Тип ТБИ353-700-30

Средний прямой ток	I_{TAV}	700 А
Повторяющееся импульсное напряжение в закрытом состоянии	U_{DRM}	3000 В
Повторяющееся импульсное обратное напряжение	U_{RRM}	
Время выключения	t_q	40.0; 50.0 мкс

U_{DRM}, U_{RRM}, В	3000
Класс по напряжению	30
T_j, °C	– 60 ÷ 120

ПРЕДЕЛЬНО ДОПУСТИМЫЕ ЗНАЧЕНИЯ ПАРАМЕТРОВ

Обозначение и наименование параметра		Ед. изм.	Значение	Условия измерения	
Параметры в проводящем состоянии					
I_{TAV}	Средний ток в открытом состоянии	А	700 1125	T_c=87 °C; двухстороннее охлаждение; T_c=55 °C; двухстороннее охлаждение; 180 эл. град. синус; 50 Гц	
I_{TRMS}	Действующий ток в открытом состоянии	А	1100	T_c=87 °C; двухстороннее охлаждение; 180 эл. град. синус; 50 Гц	
I_{TSM}	Ударный ток в открытом состоянии	кА	14.0 16.0	T_j=$T_{j\,max}$ T_j=25 °C	180 эл. град. синус; 50 Гц (t_p=10 мс); единичный импульс; U_D=U_R=0 В; Импульс управления: I_G=I_{FGM}; U_G=20 В; t_{GP}=50 мкс; di_G/dt=1 А/мкс
			15.0 17.0	T_j=$T_{j\,max}$ T_j=25 °C	180 эл. град. синус; 60 Гц (t_p=8.3 мс); единичный импульс; U_D=U_R=0 В; Импульс управления: I_G=I_{FGM}; U_G=20 В; t_{GP}=50 мкс; di_G/dt=1 А/мкс
I^2t	Защитный фактор	$A^2c\cdot10^3$	980 1280	T_j=$T_{j\,max}$ T_j=25 °C	180 эл. град. синус; 50 Гц (t_p=10 мс); единичный импульс; U_D=U_R=0 В; Импульс управления: I_G=I_{FGM}; U_G=20 В; t_{GP}=50 мкс; di_G/dt=1 А/мкс
			930 1195	T_j=$T_{j\,max}$ T_j=25 °C	180 эл. град. синус; 60 Гц (t_p=8.3 мс); единичный импульс; U_D=U_R=0 В; Импульс управления: I_G=I_{FGM}; U_G=20 В; t_{GP}=50 мкс; di_G/dt=1 А/мкс

Блокирующие параметры				
U_{DRM}, U_{RRM}	Повторяющееся импульсное обратное напряжение и повторяющееся импульсное напряжение в закрытом состоянии	В	3000	$T_{j\,min} < T_j < T_{j\,max}$; 180 эл. град. синус; 50 Гц; управление разомкнуто
U_{DSM}, U_{RSM}	Неповторяющееся импульсное обратное напряжение и неповторяющееся импульсное напряжение в закрытом состоянии	В	3100	$T_{j\,min} < T_j < T_{j\,max}$; 180 эл. град. синус; 50 Гц; единичный импульс; управление разомкнуто
U_D, U_R	Постоянное обратное и постоянное прямое напряжение	В	$0.75 \cdot U_{DRM}$ $0.75 \cdot U_{RRM}$	$T_j = T_{j\,max}$; управление разомкнуто
Параметры управления				
I_{FGM}	Максимальный прямой ток управления	А	8	$T_j = T_{j\,max}$
U_{RGM}	Максимальное обратное напряжение управления	В	5	
P_G	Максимальная рассеиваемая мощность по управлению	Вт	8	$T_j = T_{j\,max}$ для постоянного тока управления
Параметры переключения				
$(di_T/dt)_{crit}$	Критическая скорость нарастания тока в открытом состоянии (f=1 Hz)	А/мкс	2000	$T_j = T_{j\,max}$; $U_D = 0.67 \cdot U_{DRM}$; $I_{TM} = 2\ I_{TAV}$; Импульс управления: $I_G = I_{FGM}$; $U_G = 20$ В; $t_{GP} = 50$ мкс; $di_G/dt = 1$ А/мкс
Тепловые параметры				
T_{stg}	Температура хранения	°C	– 60 ÷ 120	
T_j	Температура p-n перехода	°C	– 60 ÷ 120	
Механические параметры				
F	Монтажное усилие	кН	24.0÷28.0	
a	Ускорение	м/с^2	50 100	В не зажатом состоянии В зажатом состоянии

ХАРАКТЕРИСТИКИ

Обозначение и наименование характеристики		Ед. изм.	Значение	Условия измерения
Характеристики в проводящем состоянии				
U_{TM}	Импульсное напряжение в открытом состоянии, макс	В	3.20 2.85	$T_j = T_{j\,max}$; $I_{TM} = 3200$ А $T_j = 25$ °C; $I_{TM} = 2512$ А
$U_{T(TO)}$	Пороговое напряжение, макс	В	1.50	$T_j = T_{j\,max}$; $0.5\ \pi\ I_{TAV} < I_T < 1.5\ \pi\ I_{TAV}$
r_T	Динамическое сопротивление в открытом состоянии, макс	мОм	0.500	
I_H	Ток удержания, макс	мА	500	$T_j = 25$ °C; $U_D = 12$ В; управление разомкнуто
Блокирующие характеристики				
I_{DRM}, I_{RRM}	Повторяющийся импульсный обратный ток и повторяющийся импульсный ток в закрытом состоянии, макс	мА	150	$T_j = T_{j\,max}$; $U_D = U_{DRM}$; $U_R = U_{RRM}$
$(dv_D/dt)_{crit}$	Критическая скорость нарастания напряжения в закрытом состоянии[1)], мин	В/мкс	1000	$T_j = T_{j\,max}$; $U_D = 0.67 \cdot U_{DRM}$; управление разомкнуто

Характеристики управления					
U_{GT}	Отпирающее постоянное напряжение управления, макс	В	4.00 2.50 2.00	$T_j = T_{j\,min}$ T_j=25 °C $T_j = T_{j\,max}$	U_D=12 В; I_D=3 А; Постоянный ток управления
I_{GT}	Отпирающий постоянный ток управления, макс	мА	500 300 200	$T_j = T_{j\,min}$ T_j= 25 °C $T_j = T_{j\,max}$	
U_{GD}	Неотпирающее постоянное напряжение управления, мин	В	0.25	$T_j = T_{j\,max}$; U_D=0.67·U_{DRM}; Постоянный ток управления	
I_{GD}	Неотпирающий постоянный ток управления, мин	мА	10.00		
Динамические характеристики					
t_{gd}	Время задержки включения	мкс	3.00	T_j=25 °C; V_D=0.4·V_{DRM}; I_{TM}=I_{TAV}; Gate pulse: I_G=I_{FGM}; V_G=20 V; t_{GP}=50 μs; di_G/dt=1 A/μs	
t_q	Время выключения[2], макс	мкс	40.0; 50.0	dv_D/dt=50 В/мкс;	$T_j = T_{j\,max}$; I_{TM}= I_{TAV}; di_R/dt=-10 А/мкс; U_R=100 В; U_D=0.67U_{DRM}
			50.0; 63.0	dv_D/dt=200 В/мкс;	
Q_{rr}	Заряд обратного восстановления, макс	мкКл	770	$T_j = T_{j\,max}$; I_{TM}= I_{TAV}; di_R/dt=-50 А/мкс ; U_R=100 В	
t_{rr}	Время обратного восстановления, макс	мкс	7.0		
I_{rrM}	Ток обратного восстановления, макс	А	220		
Тепловые характеристики					
R_{thjc}	Тепловое сопротивление p-n переход-корпус, макс	°C/Вт	0.0200	Постоянный ток	Двухстороннее охлаждение
$R_{thjc\text{-}A}$			0.0440		Охлаждение со стороны анода
$R_{thjc\text{-}K}$			0.0360		Охлаждение со стороны катода
R_{thck}	Тепловое сопротивление корпус-охладитель, макс	°C/Вт	0.0040	Постоянный ток	
Механические характеристики					
w	Масса, тип	г	550		
D_s	Длина пути тока утечки по поверхности	мм (дюйм)	29.47 (1.160)		
D_a	Длина пути тока утечки по воздуху	мм (дюйм)	17.50 (0.689)		

ПРИМЕЧАНИЕ

[1] Критическая скорость нарастания напряжения в закрытом состоянии

Обозначение группы	A2
$(dv_D/dt)_{crit}$, В/мкс	1000

[2] Время выключения (dv_D/dt=50 В/мкс)

Обозначение группы	H3	E3
t_q, мкс	40.0	50.0

МАРКИРОВКА

ТБИ	353	700	30	A2	H3	УХЛ2
1	2	3	4	5	6	7

1. Быстродействующий импульсный тиристор
2. Конструктивное исполнение
3. Средний ток в открытом состоянии, А
4. Класс по напряжению
5. Критическая скорость нарастания напряжения в закрытом состоянии
6. Группа по времени выключения (dv_D/dt=50 В/мкс)
7. Климатическое исполнение по ГОСТ 15150: УХЛ2, Т

ГАБАРИТНЫЕ РАЗМЕРЫ

Тип корпуса: T.D2

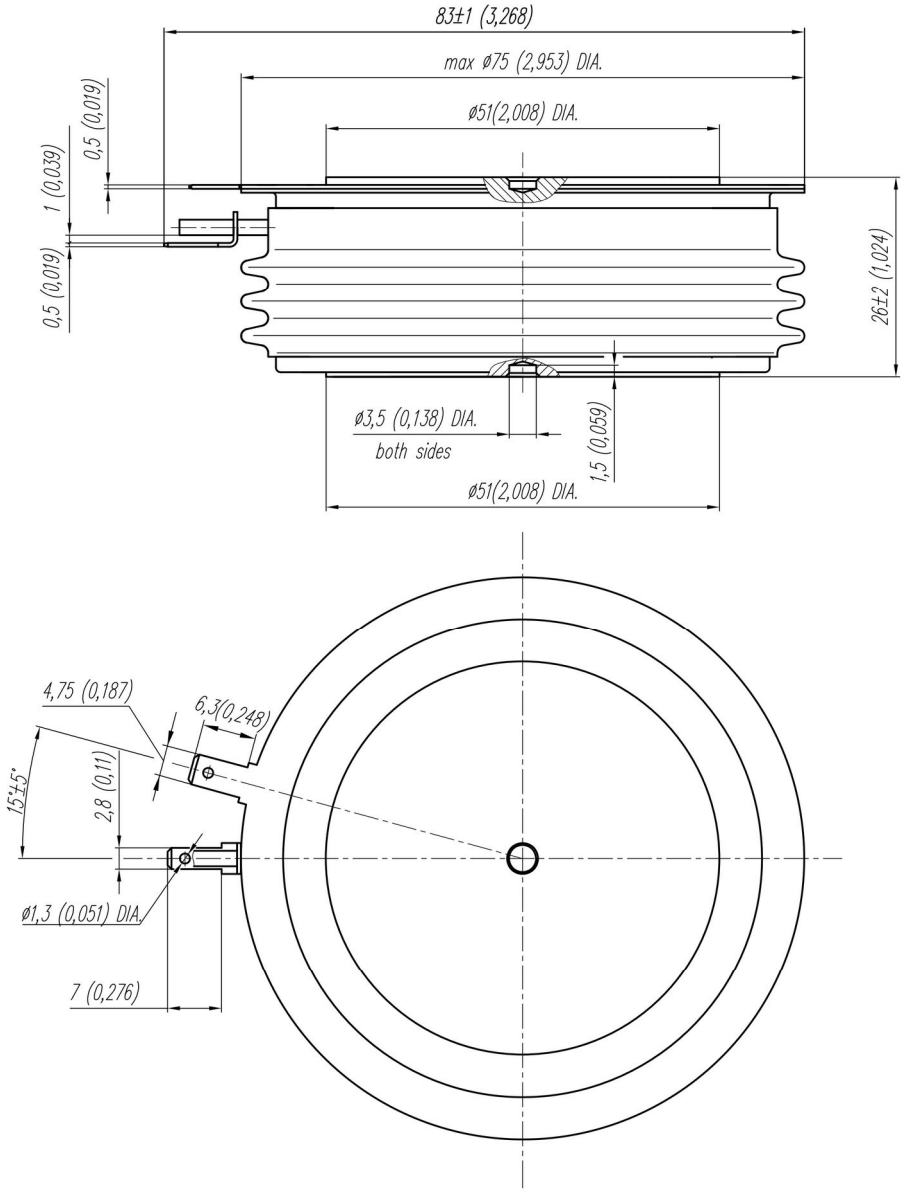

Все размеры в миллиметрах (дюймах)

Содержащаяся здесь информация является конфиденциальной и находится под защитой авторских прав.
В интересах улучшения качества продукции, ЗАО «Протон-Электротекс» оставляет за собой право изменять информационные листы без уведомления.

On-state characteristic model (see Fig. 1).

Analytical function for On-state characteristic:

$$V_T = A + B \cdot i_T + C \cdot \ln(i_T + 1) + D \cdot \sqrt{i_T}$$

	Coefficients	
	$T_j = 25^oC$	$T_j = T_{j\,max}$
A	1.967194	1.329742
B	0.254400	0.439131
C	-0.166422	-0.222268
D	0.285964	0.381925

Transient thermal impedance junction to case Z_{thjc} model (see Fig. 2).

Analytical function for Transient thermal impedance junction to case Z_{thjc} for DC:

$$Z_{thjc} = \sum_{i=1}^{n} R_i \left(1 - e^{-\frac{t}{\tau_i}} \right)$$

Where ***i*** = 1 to ***n***, ***n*** is the number of terms in the series.

t = Duration of heating pulse in seconds.
Z_{thjc} = Thermal resistance at time t.
R_i = Amplitude of p_{th} term.
τ_i = Time constatnt of r_{th} term.

DC Double side cooled

i	1	2	3	4	5	6
R_i, K/W	-1.888e-006	0.009096	0.009331	0.0001969	0.001089	0.000289
τ_i, s	9.752	0.9752	0.06926	0.02587	0.00197	0.0004773

DC Anode side cooled

i	1	2	3	4	5	6
R_i, K/W	0.02418	0.009264	0.00939	3.212e-007	0.001074	0.0003088
τ_i, s	9.752	1.078	0.07024	0.2399	0.00201	0.0005003

DC Cathode side cooled

i	1	2	3	4	5	6
R_i, K/W	0.01613	0.008994	0.00918	0.0004987	0.001111	0.0002592
τ_i, s	9.752	1.077	0.06877	0.2401	0.001906	0.0004449

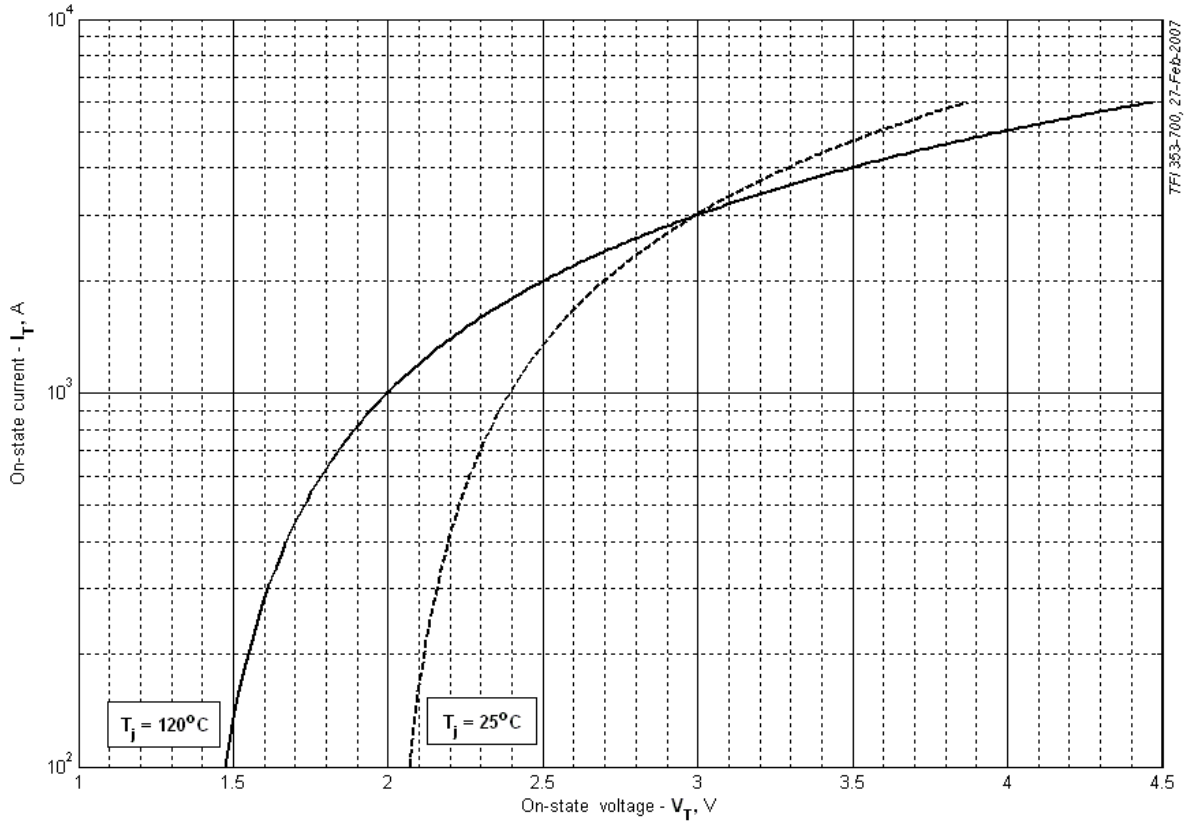

Fig 1 – On-state characteristics of Limit device

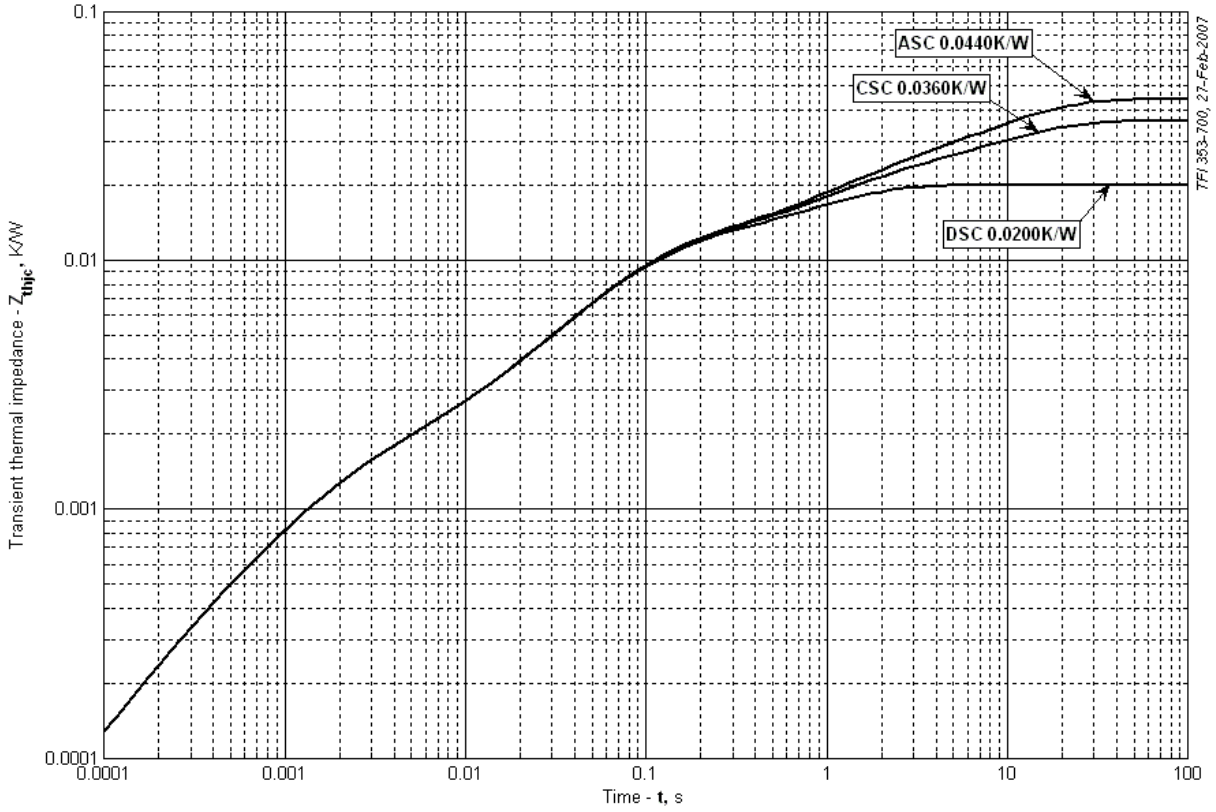

Fig 2 – Transient thermal impedance

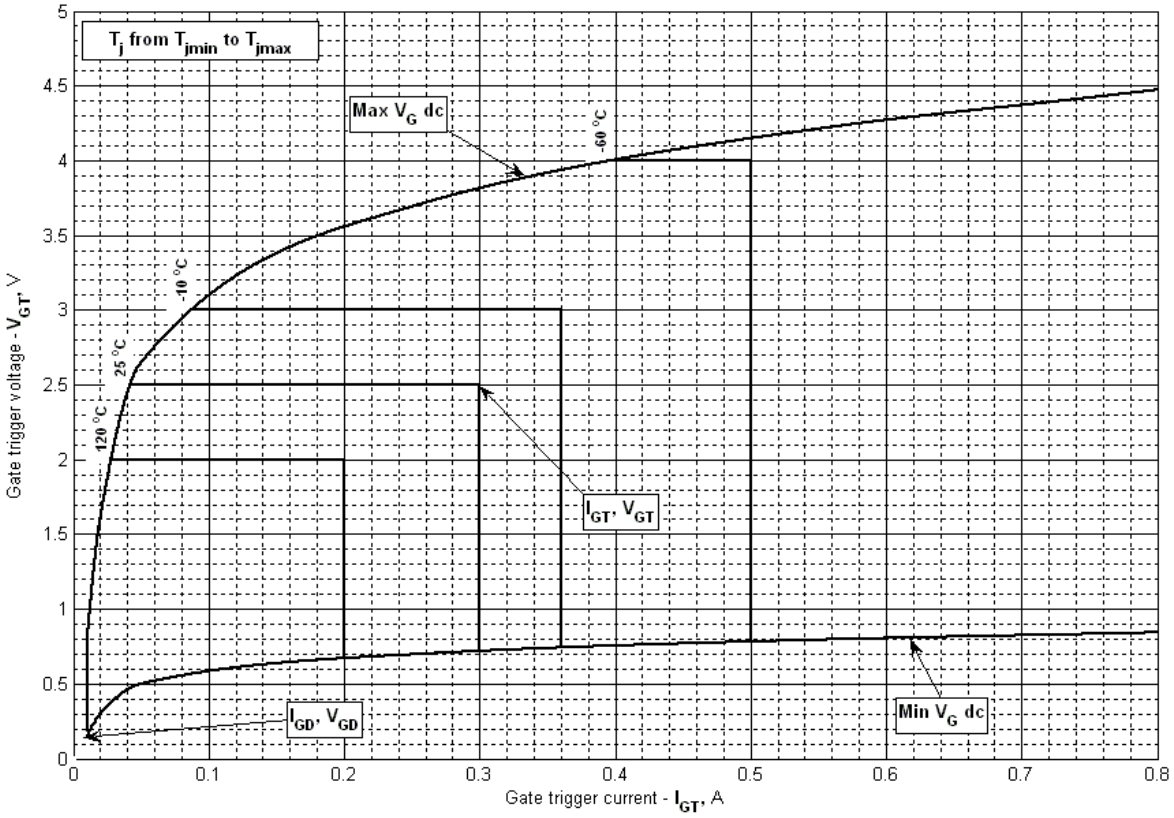

Fig 3 – Gate characteristics – Trigger limits

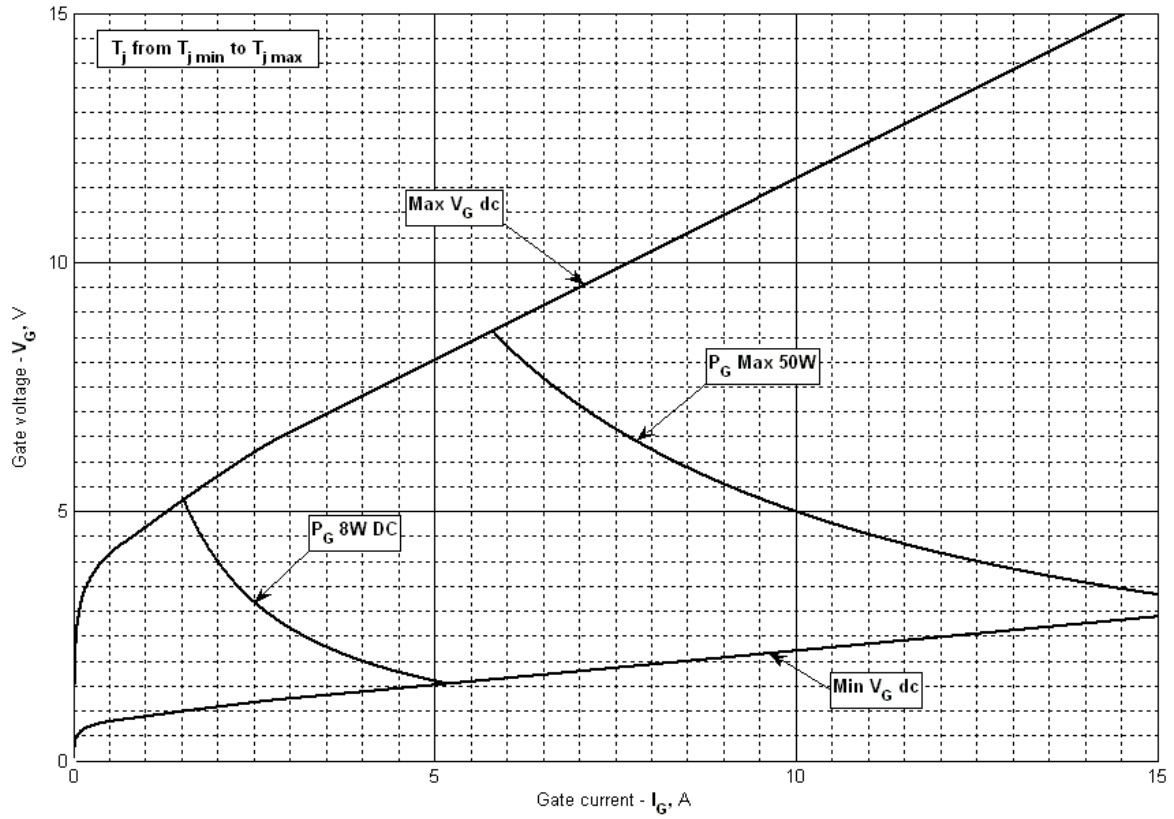

Fig 4 - Gate characteristics –Power curves

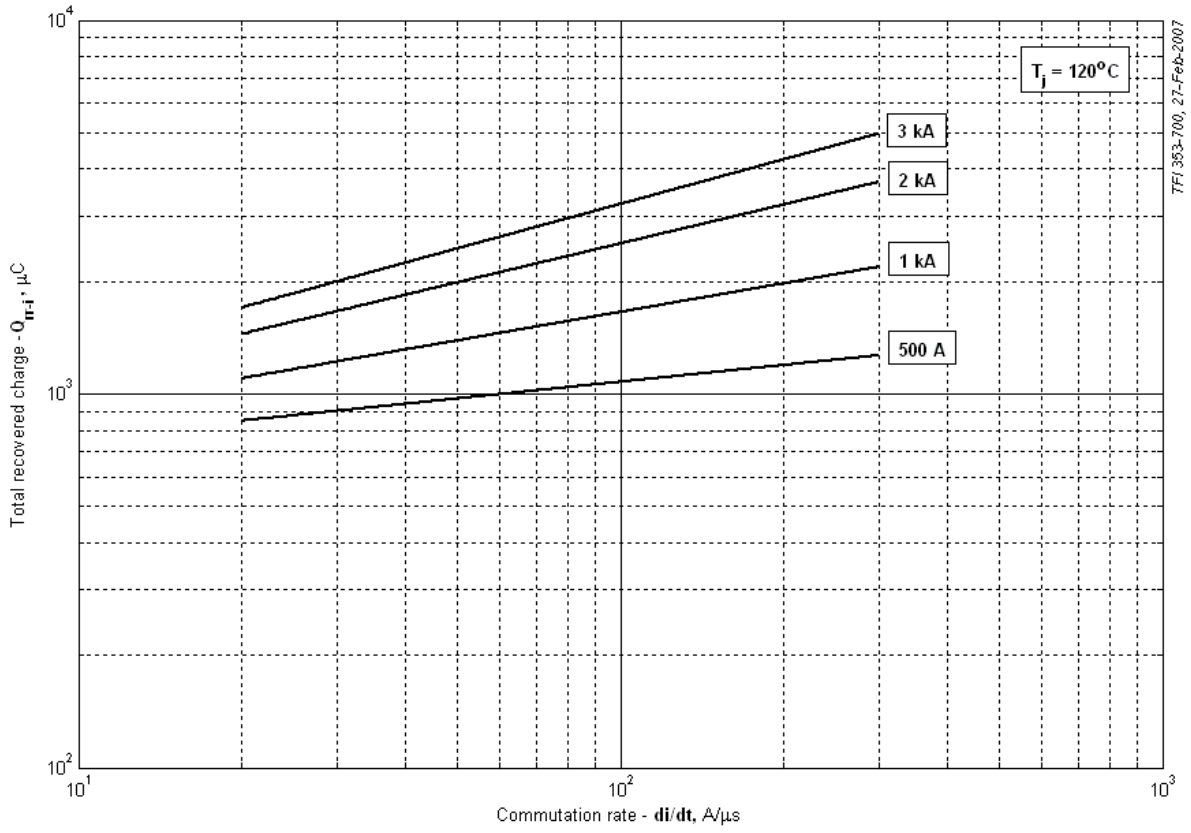

Fig 5 – Total recovered charge, Q_{rr-i} (integral)

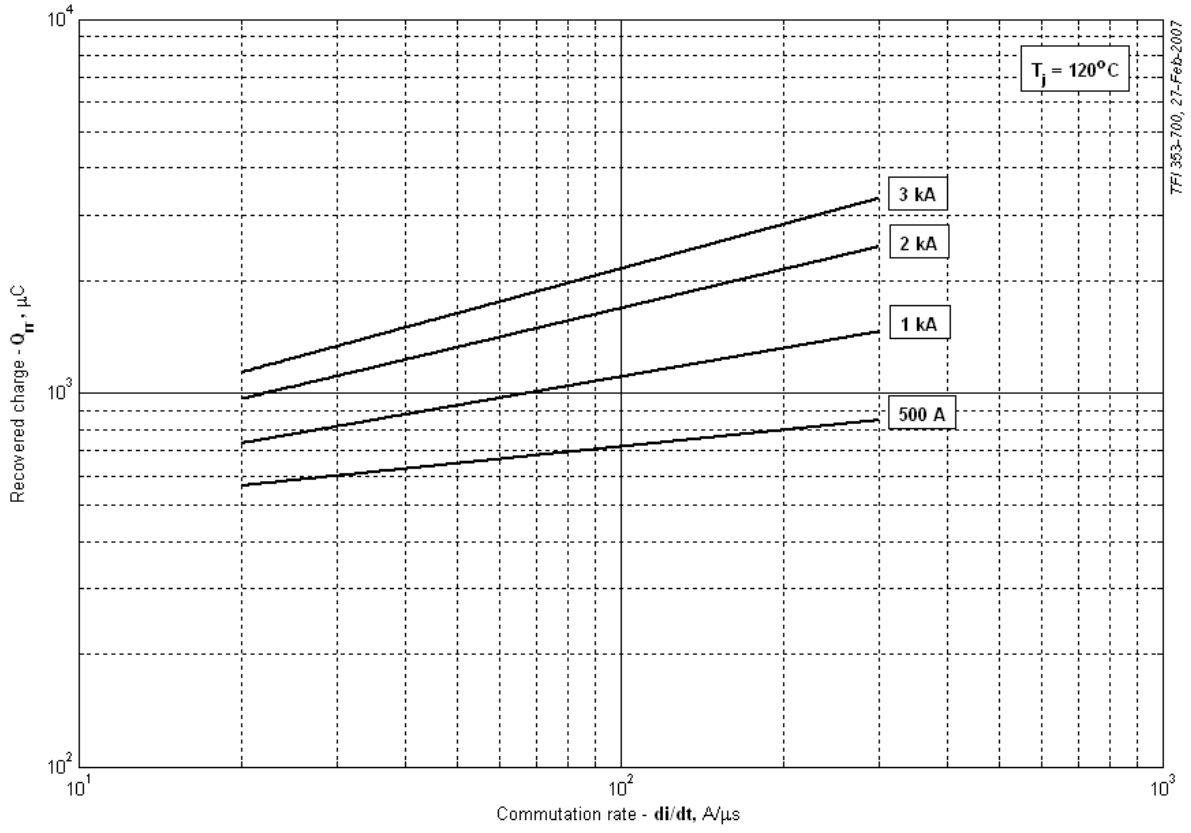

Fig 6 - Recovered charge, Q_{rr} (linear)

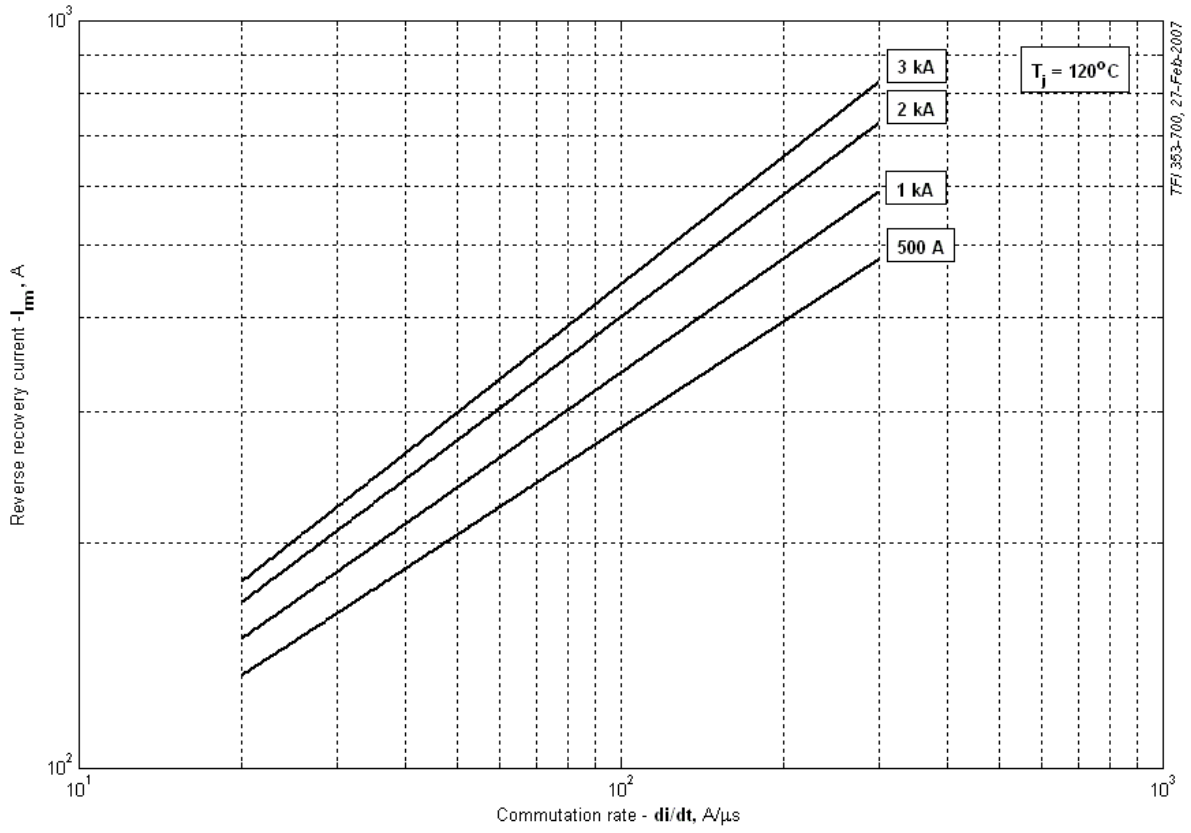

Fig 7 – Peak reverse recovery current, I_{rm}

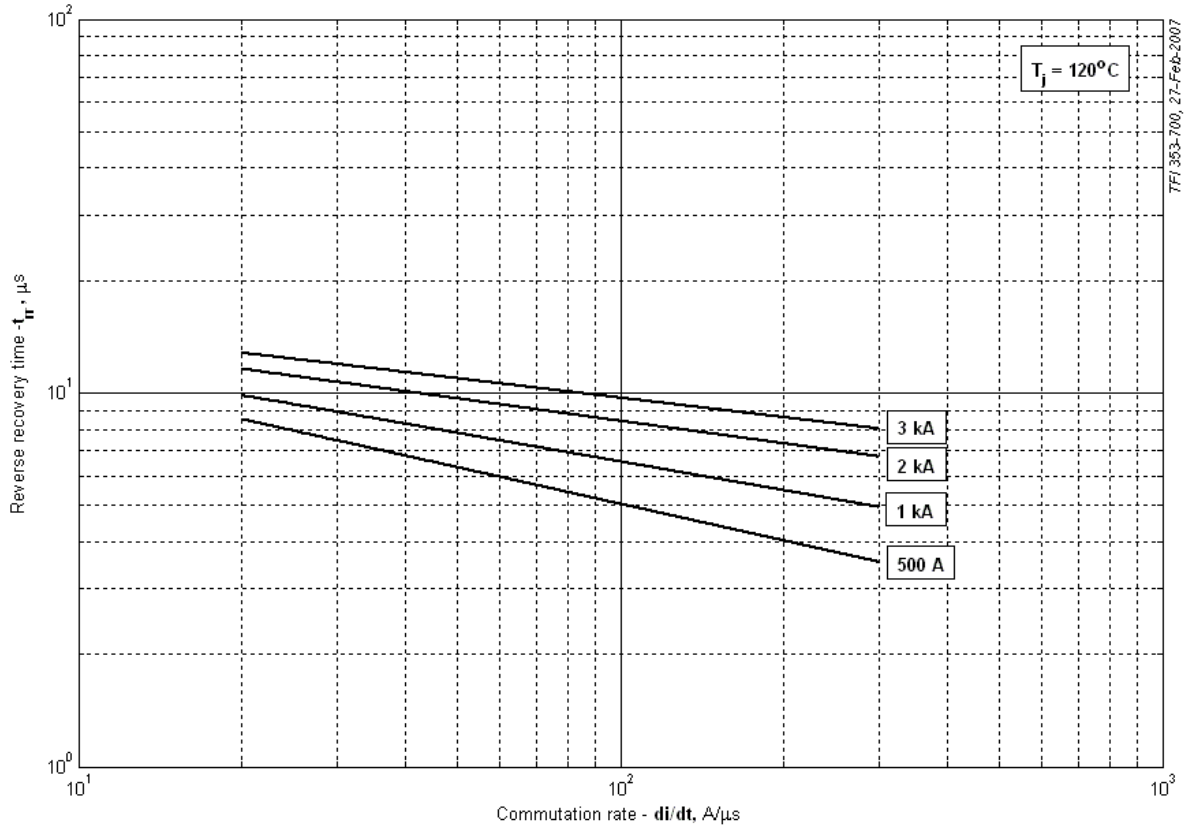

Fig 8 – Maximum recovery time, t_{rr} (linear)

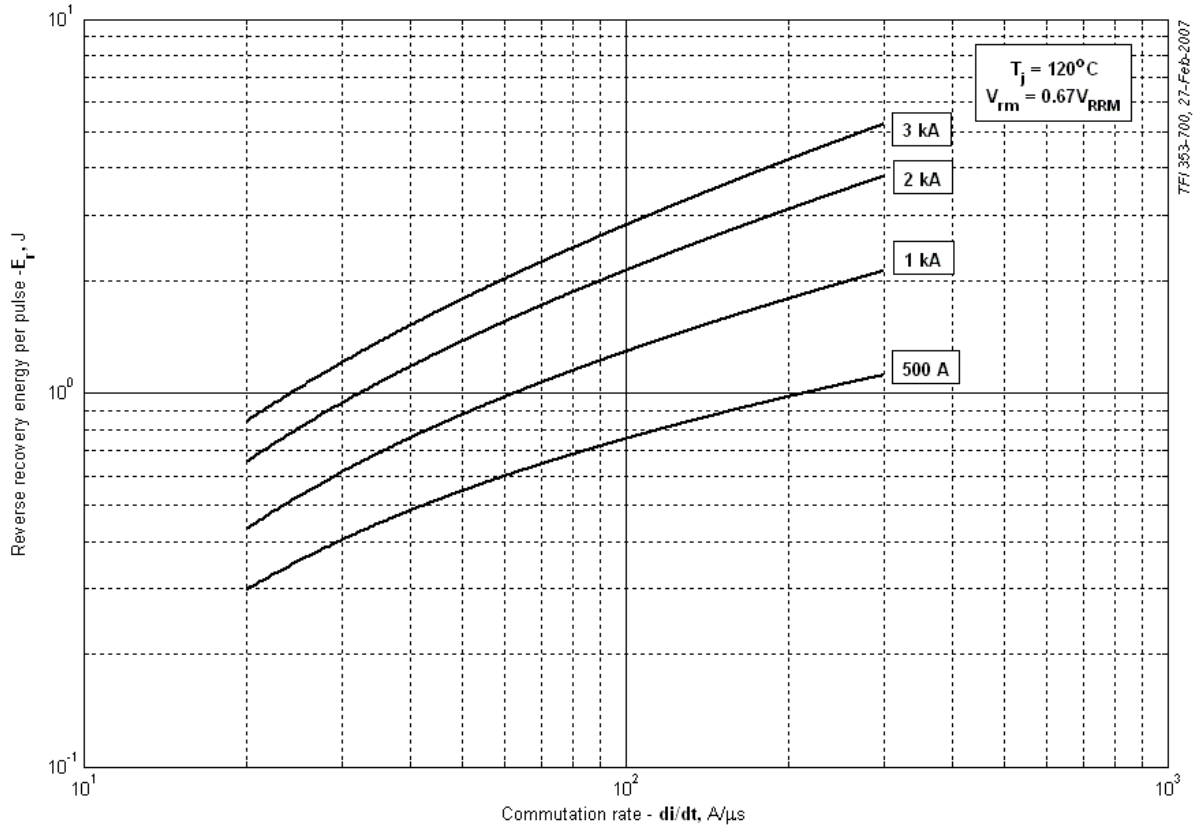

Fig 9 – Reverse recovery energy per pulse

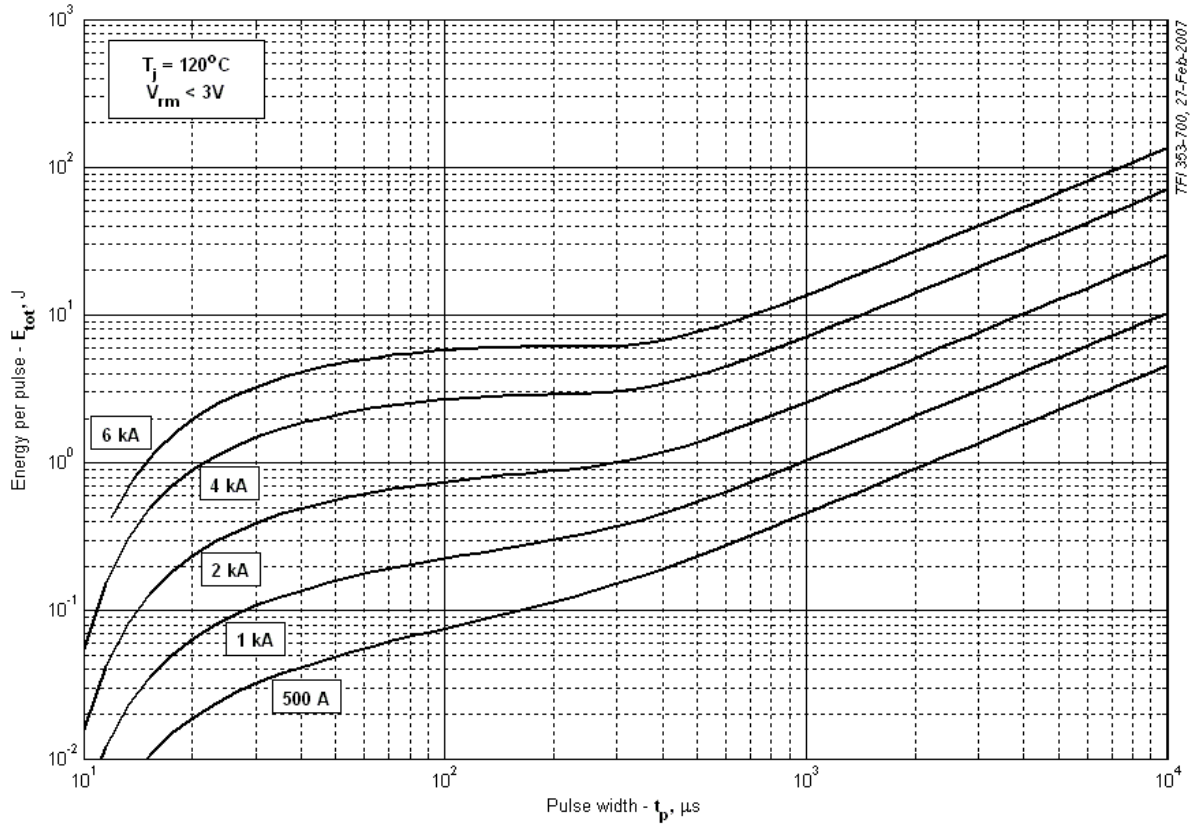

Fig 10 – Sine wave energy per pulse

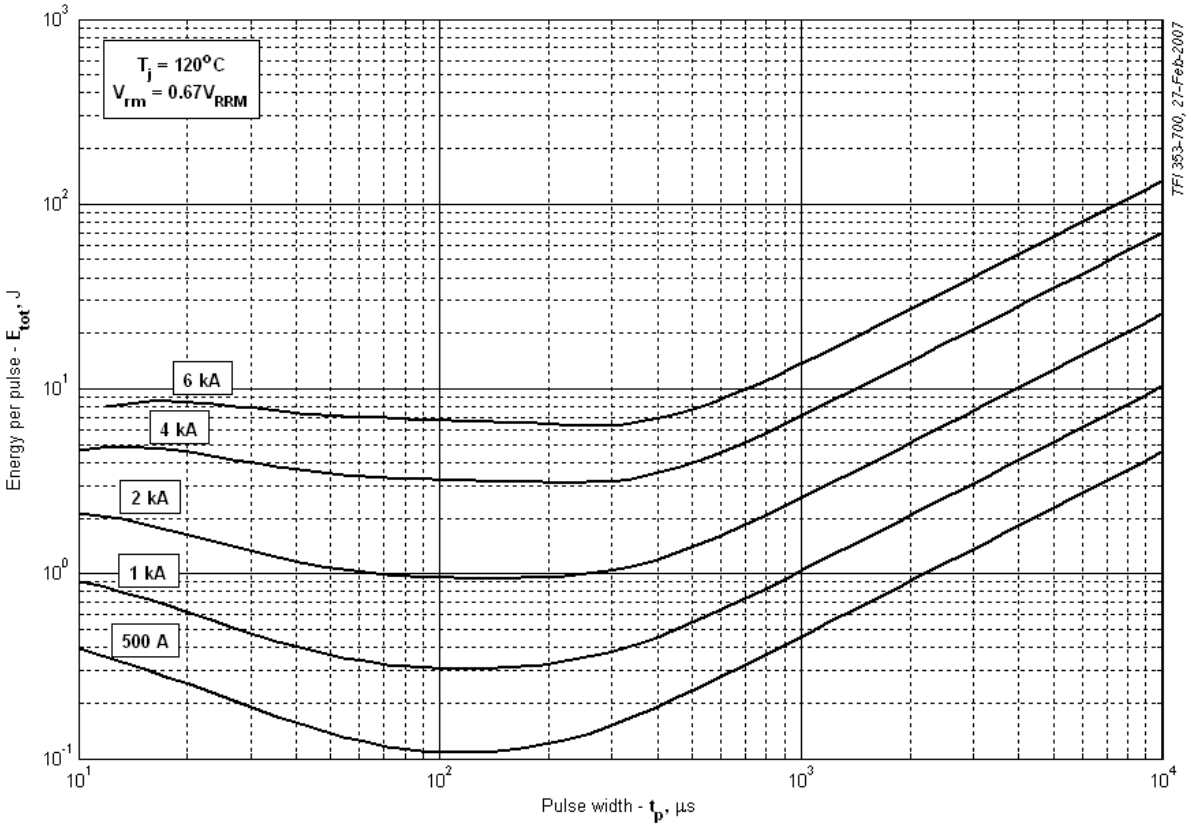

Fig 11 – Sine wave energy per pulse

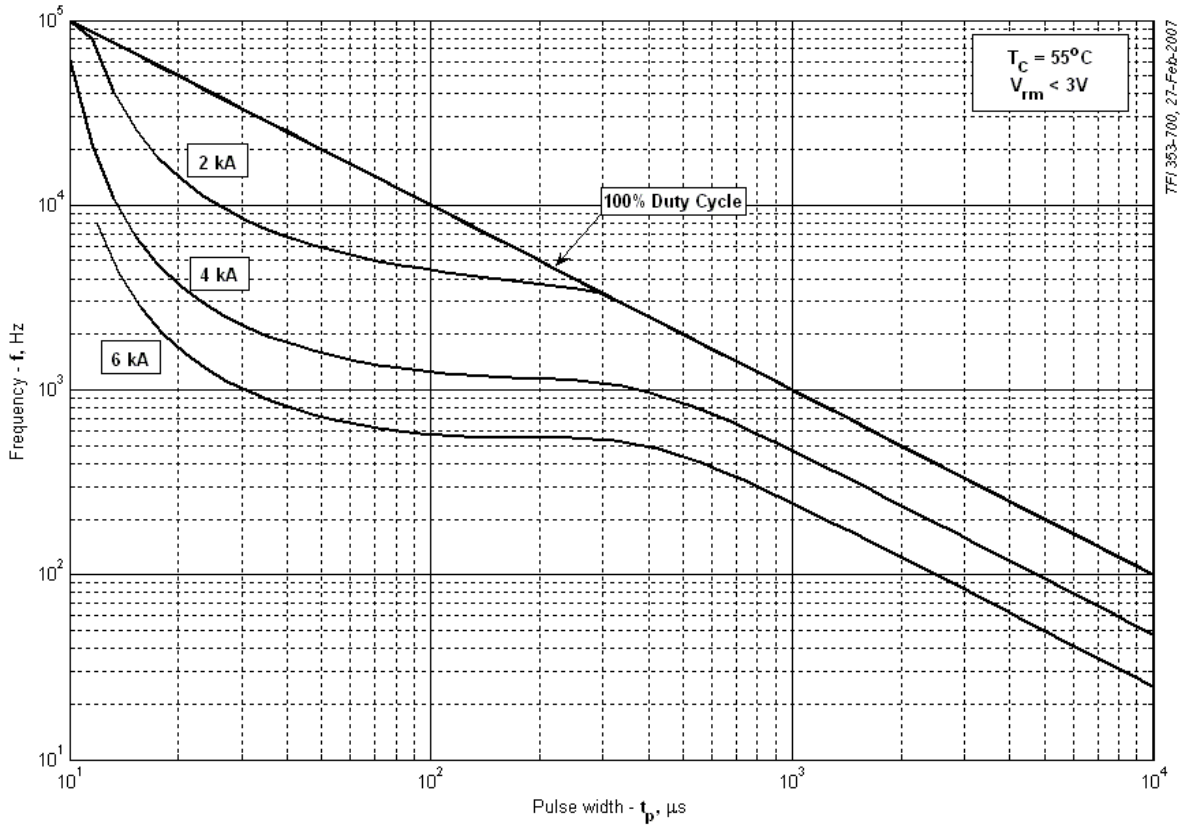

Fig 12 – Sine wave frequency ratings

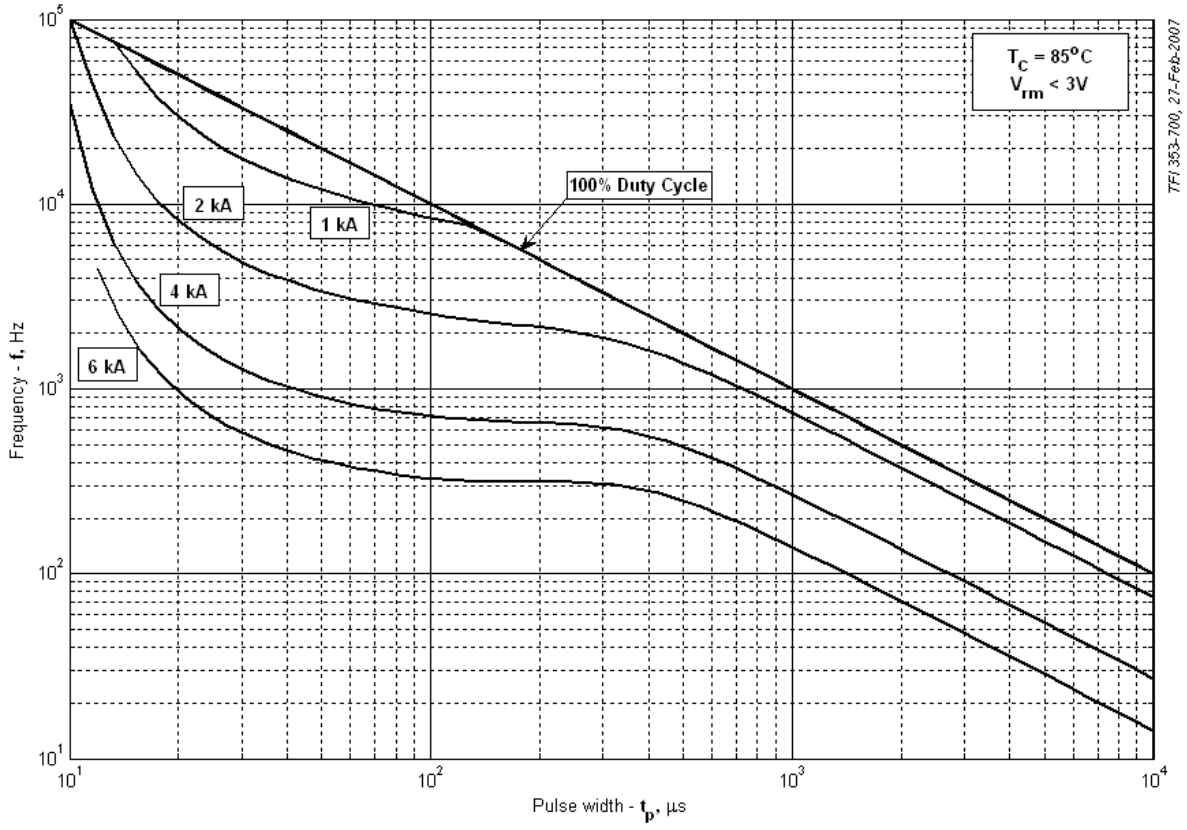

Fig 13 – Sine wave frequency ratings

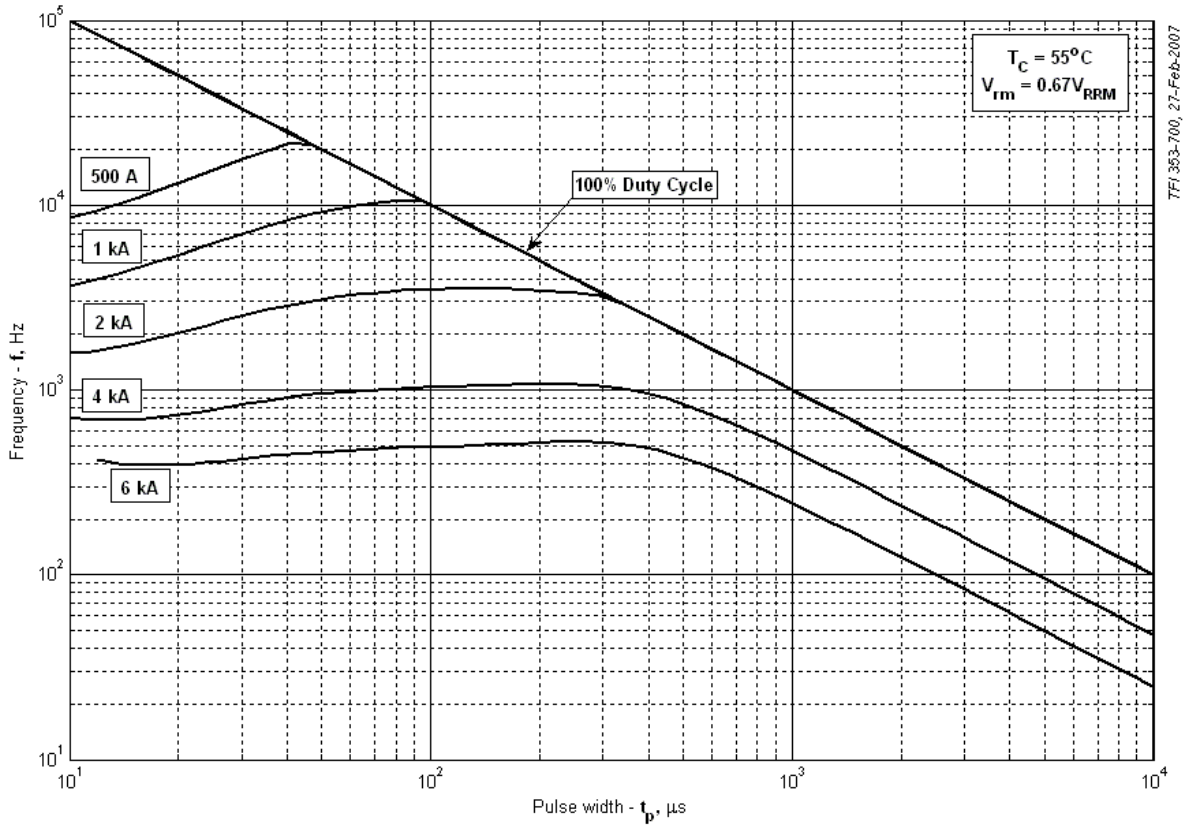

Fig 14 – Sine wave frequency ratings

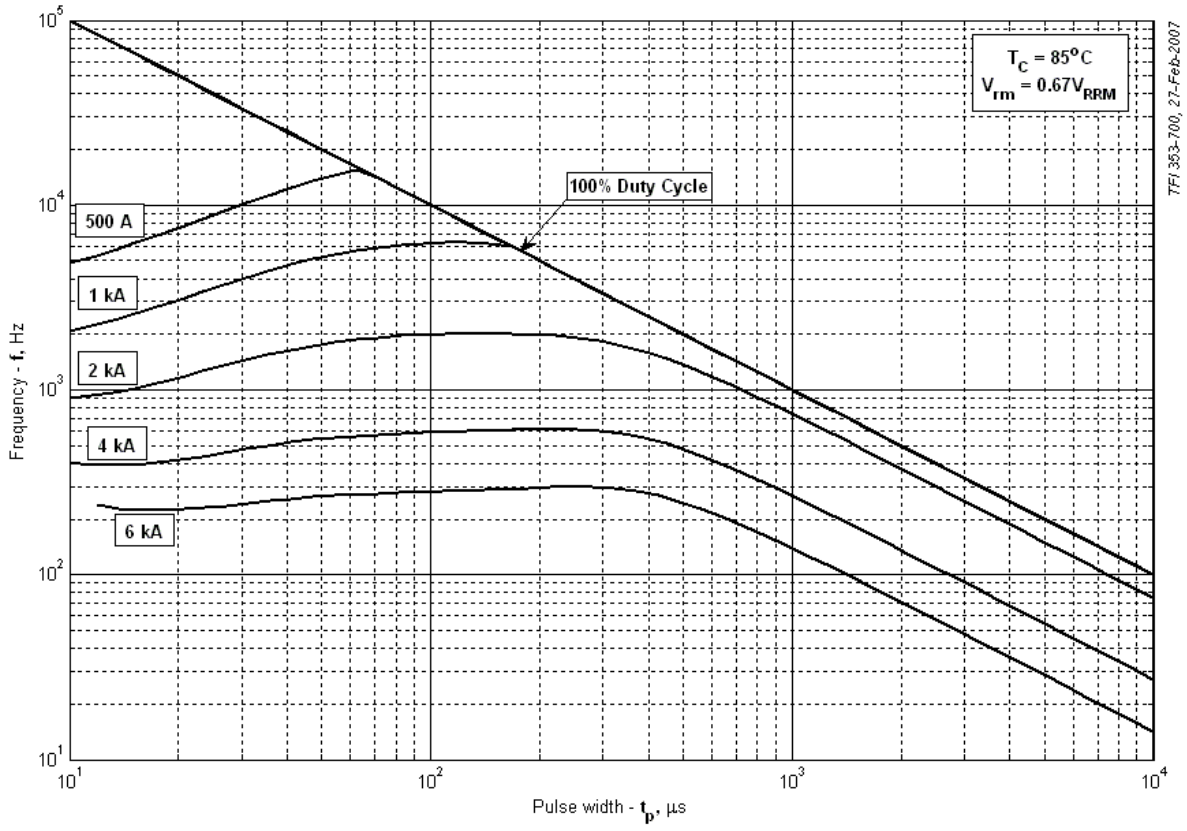

Fig 15 – Sine wave frequency ratings

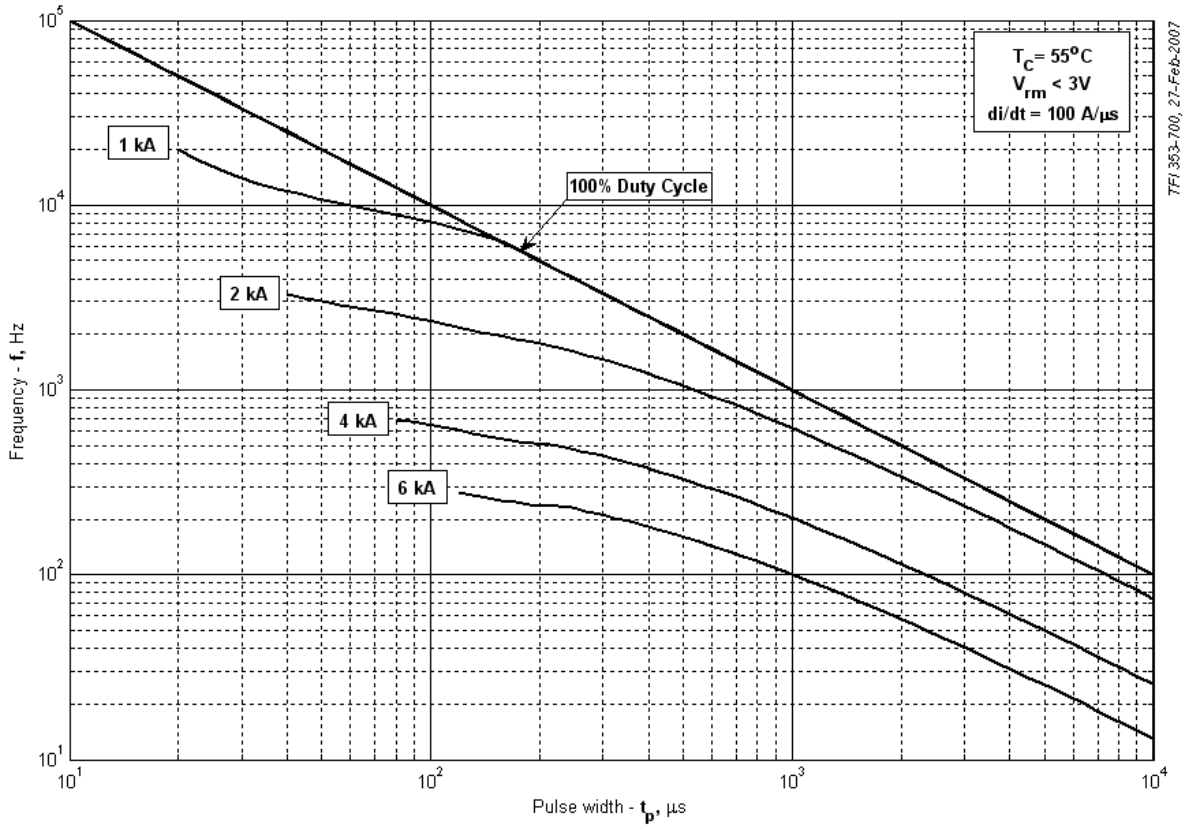

Fig 16 – Square wave frequency ratings

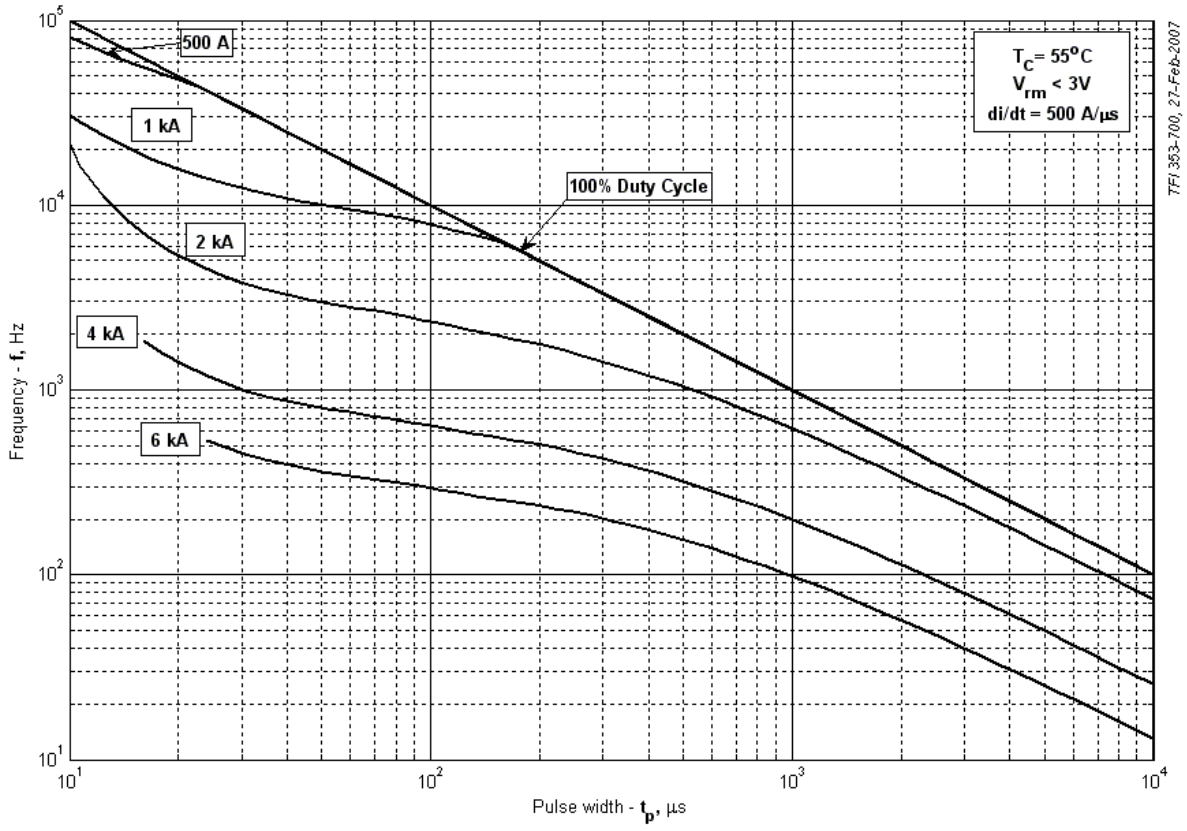

Fig 17 – Square wave frequency ratings

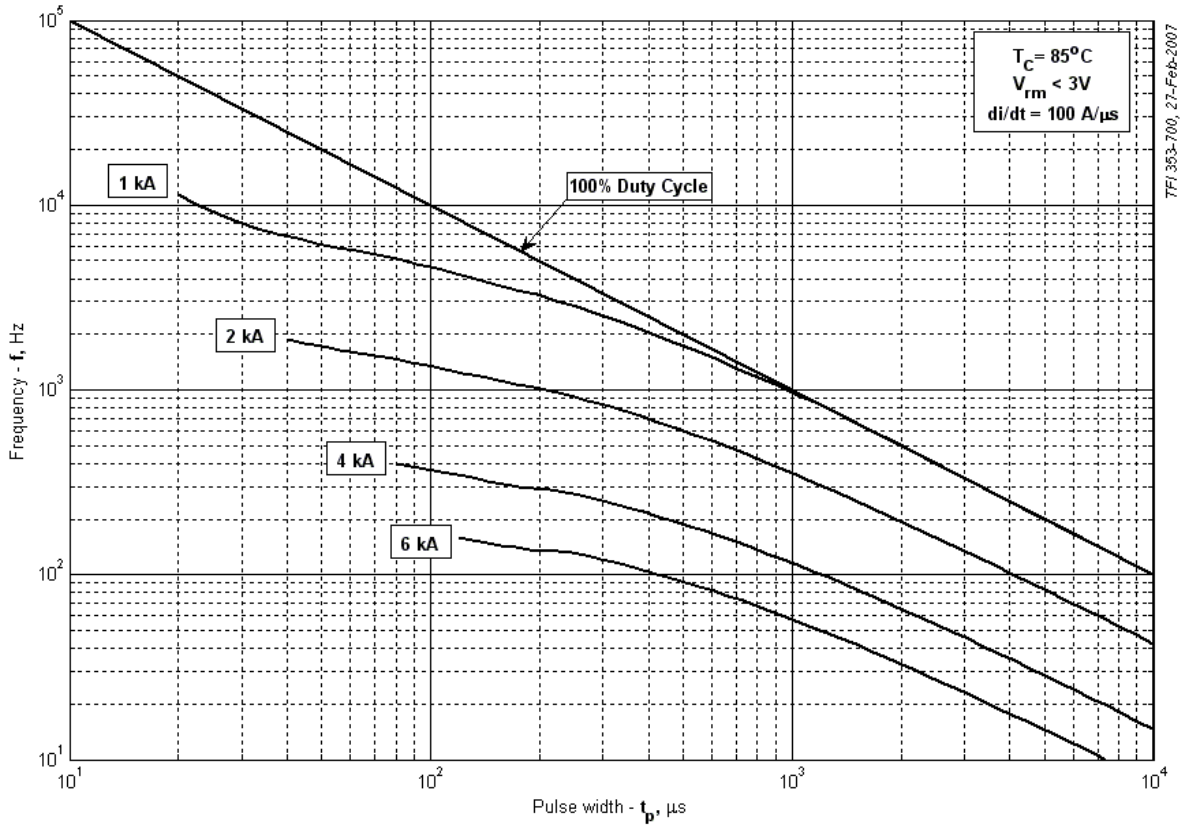

Fig 18 – Square wave frequency ratings

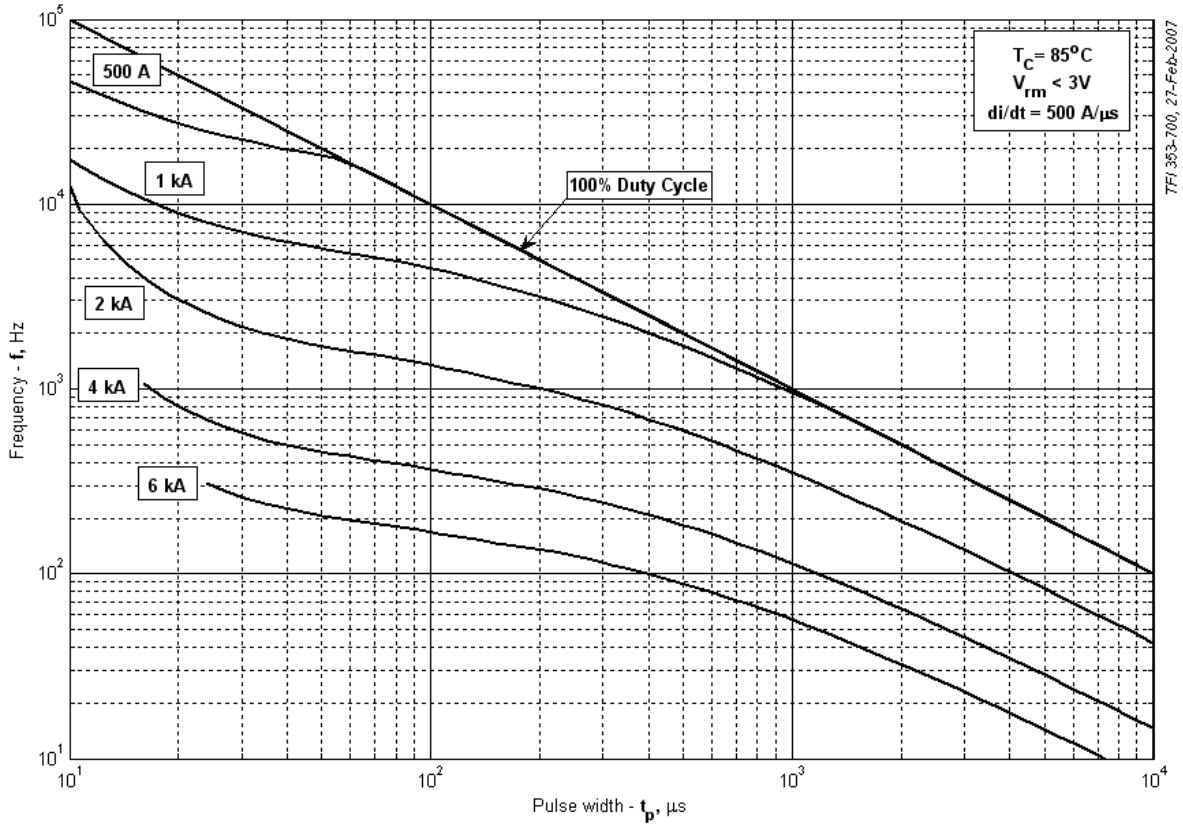

Fig 19 – Square wave frequency ratings

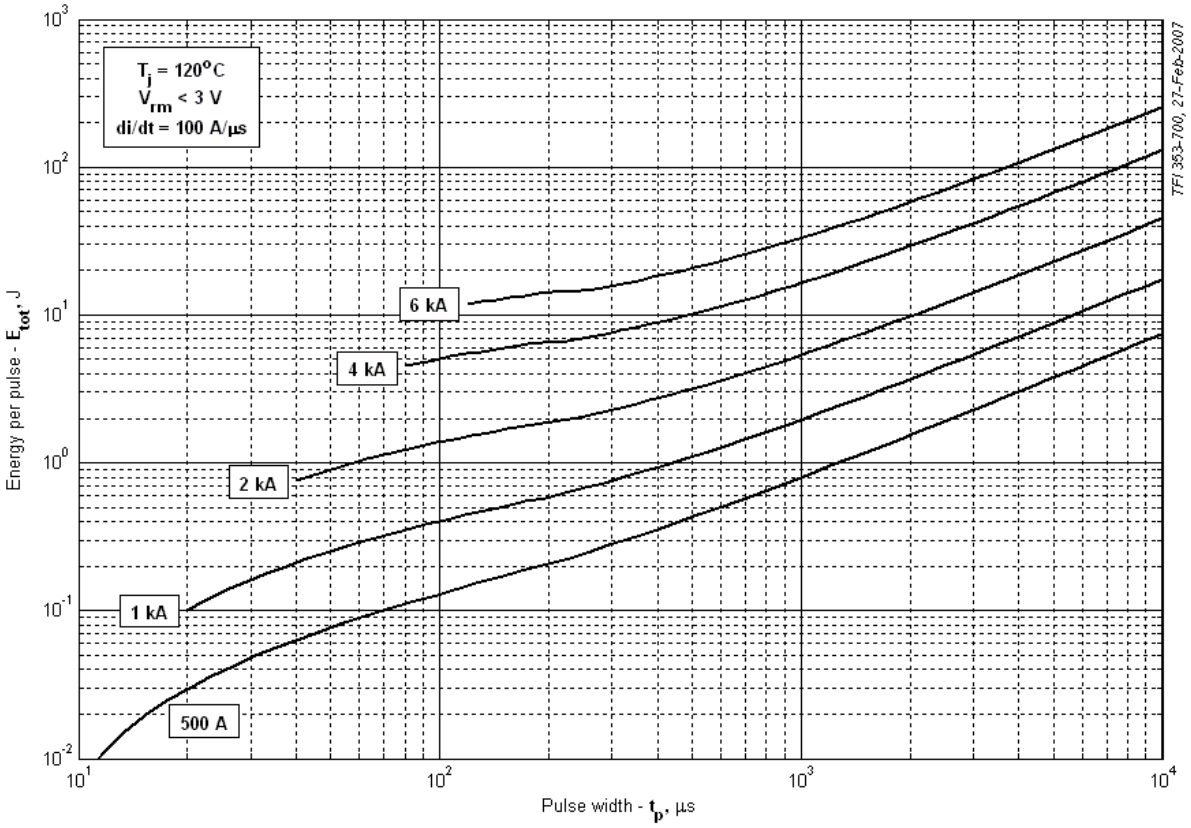

Fig 20 – Square wave energy per pulse

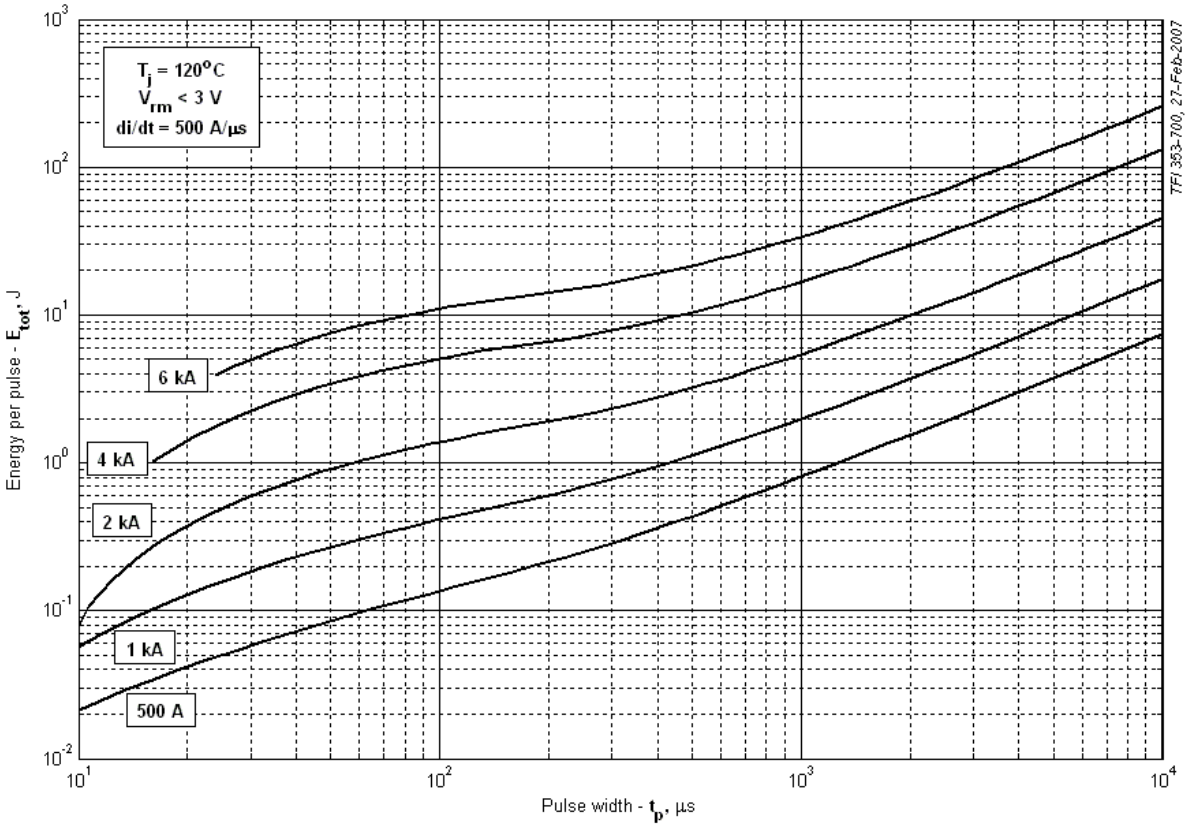

Fig 21 – Square wave energy per pulse

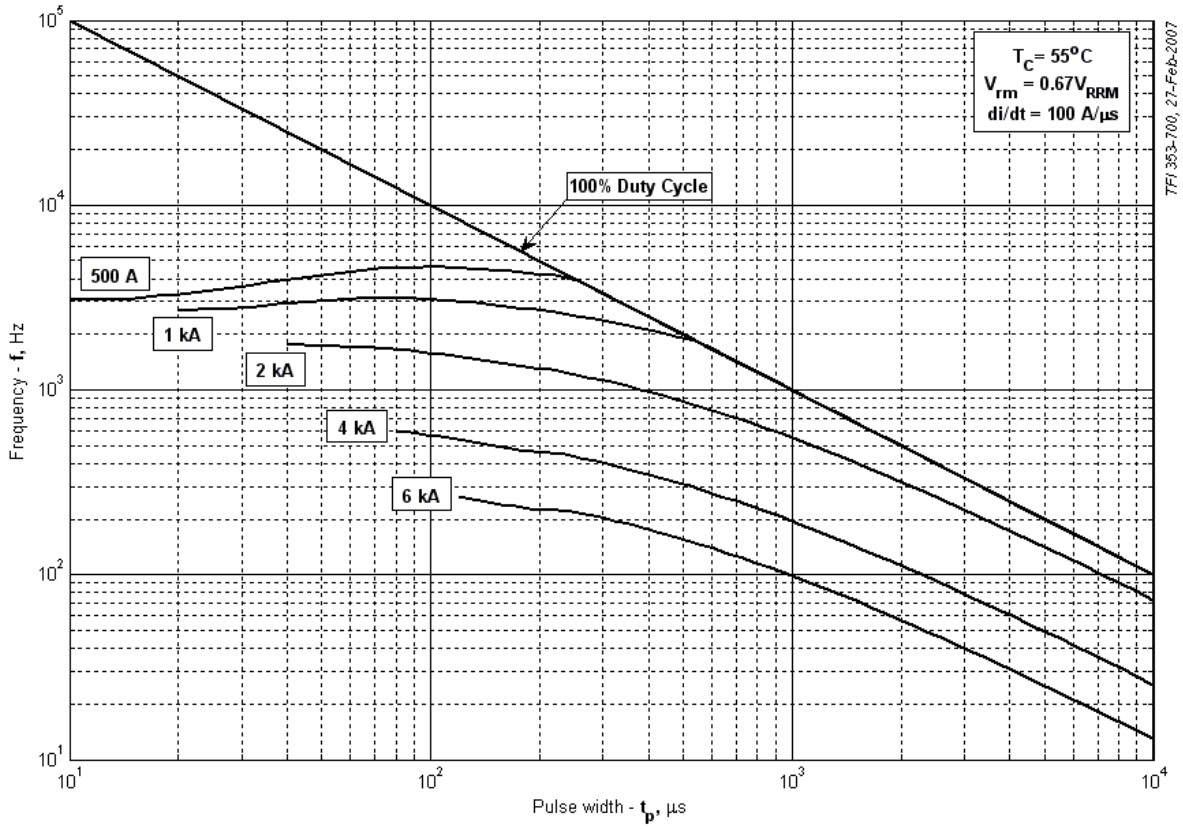

Fig 22 – Square wave frequency ratings

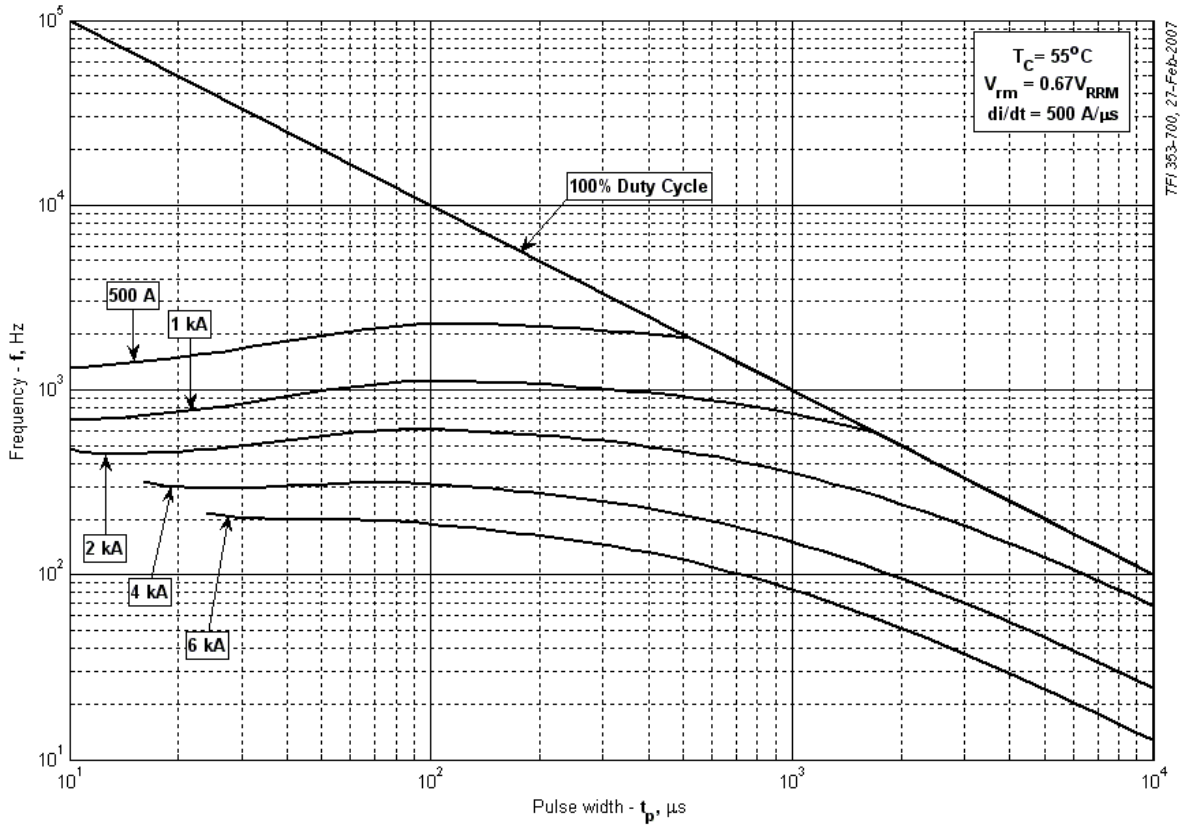

Fig 23 – Square wave frequency ratings

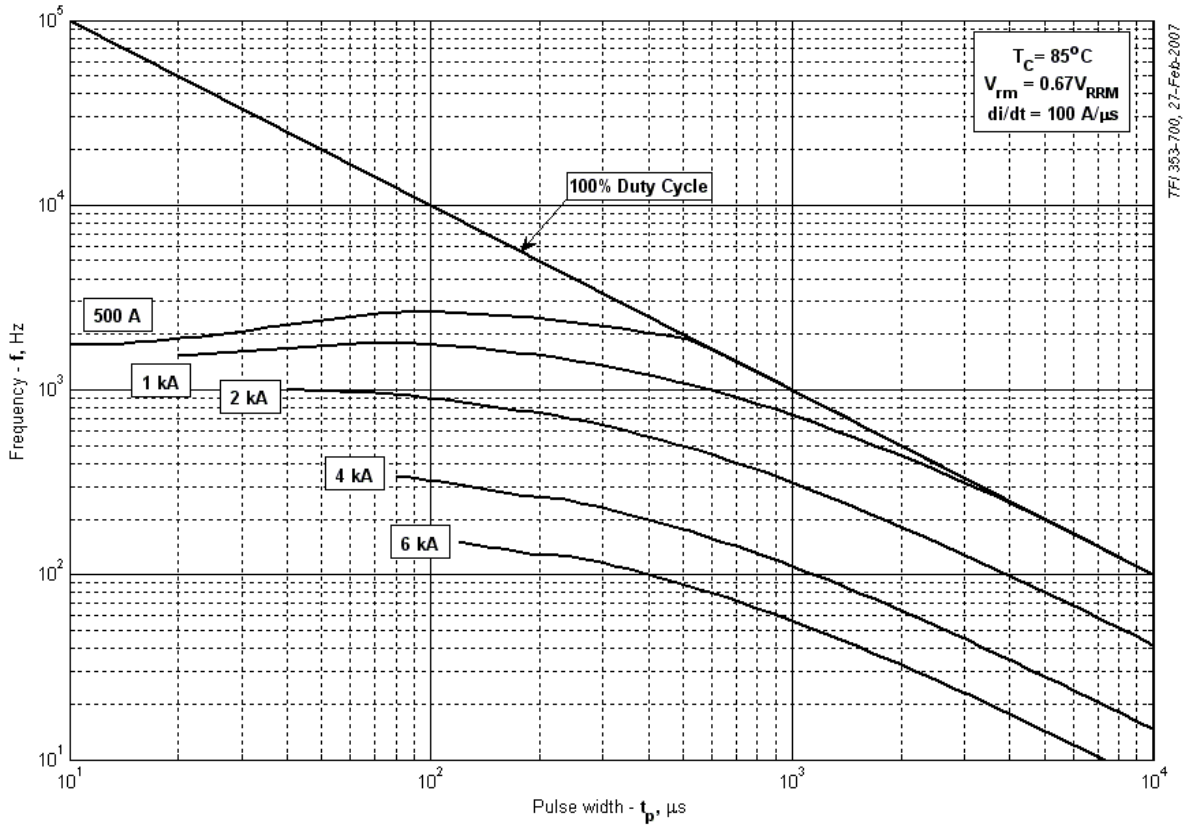

Fig 24 – Square wave frequency ratings

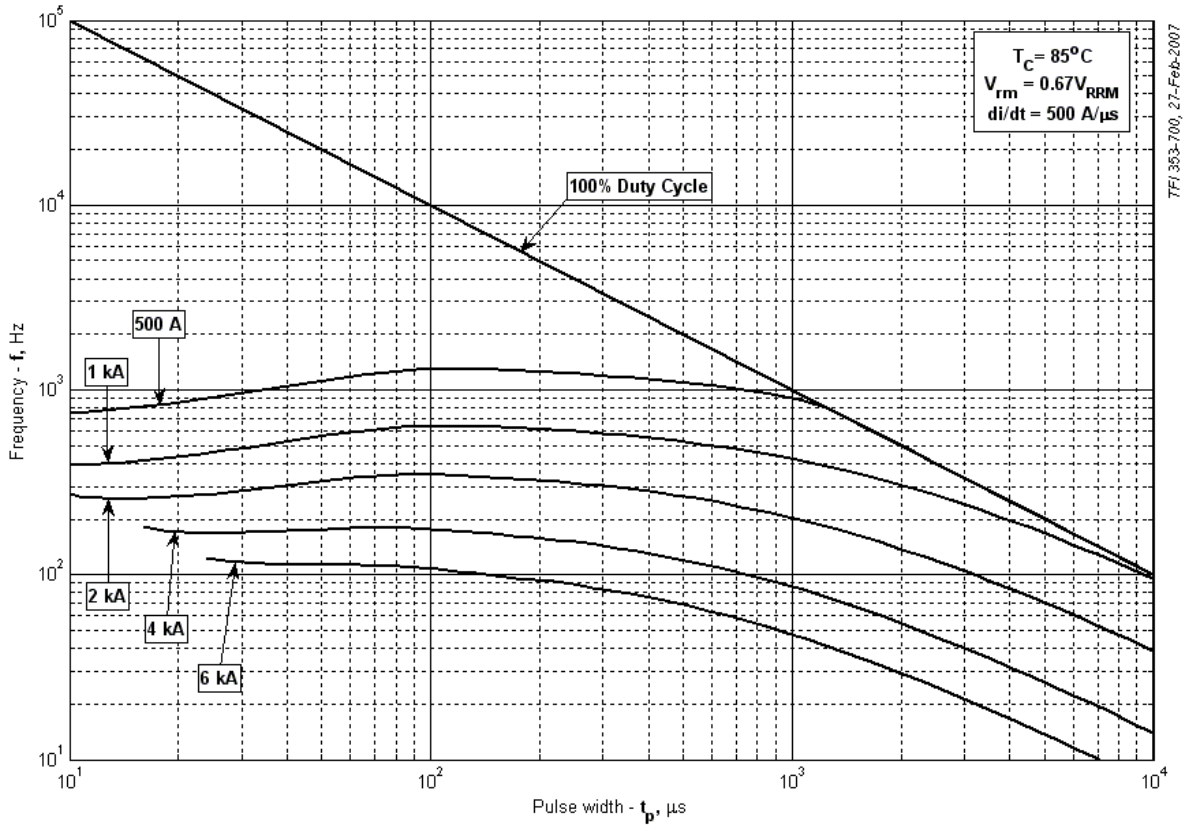

Fig 25 – Square wave frequency ratings

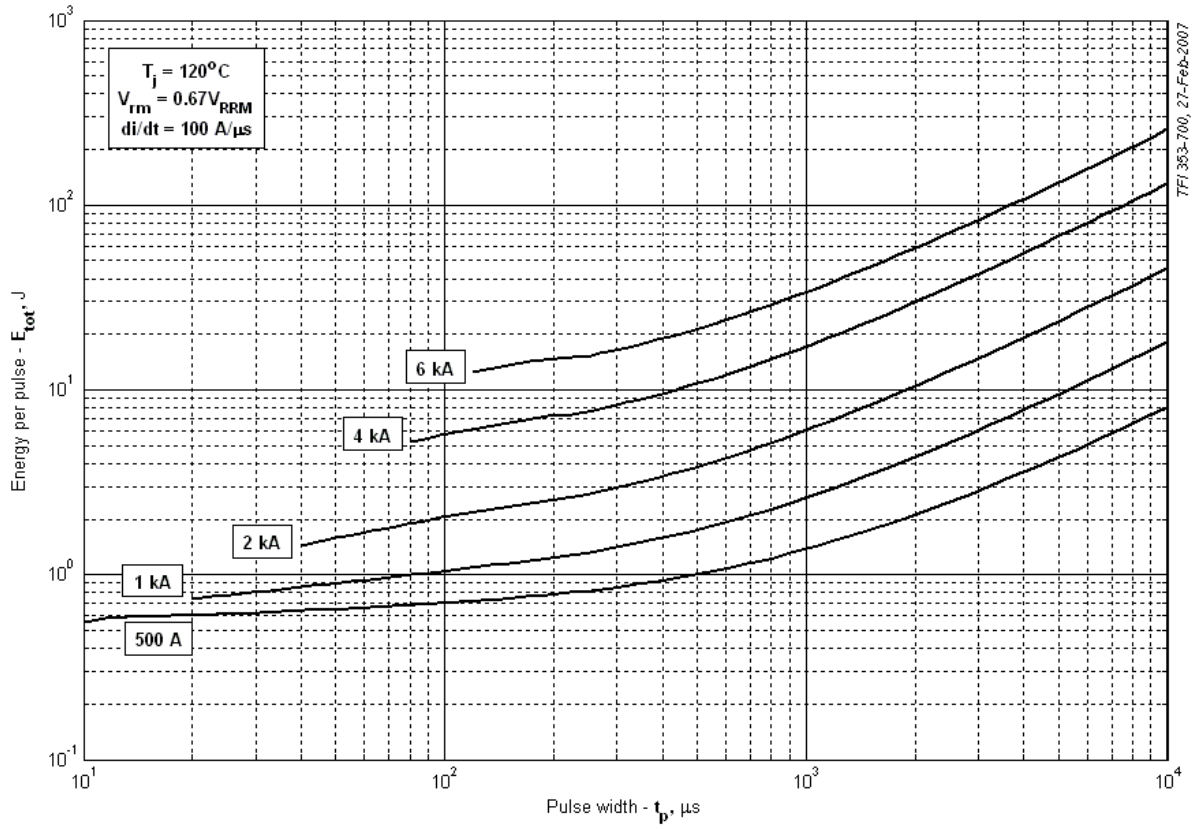

Fig 26 – Square wave energy per pulse

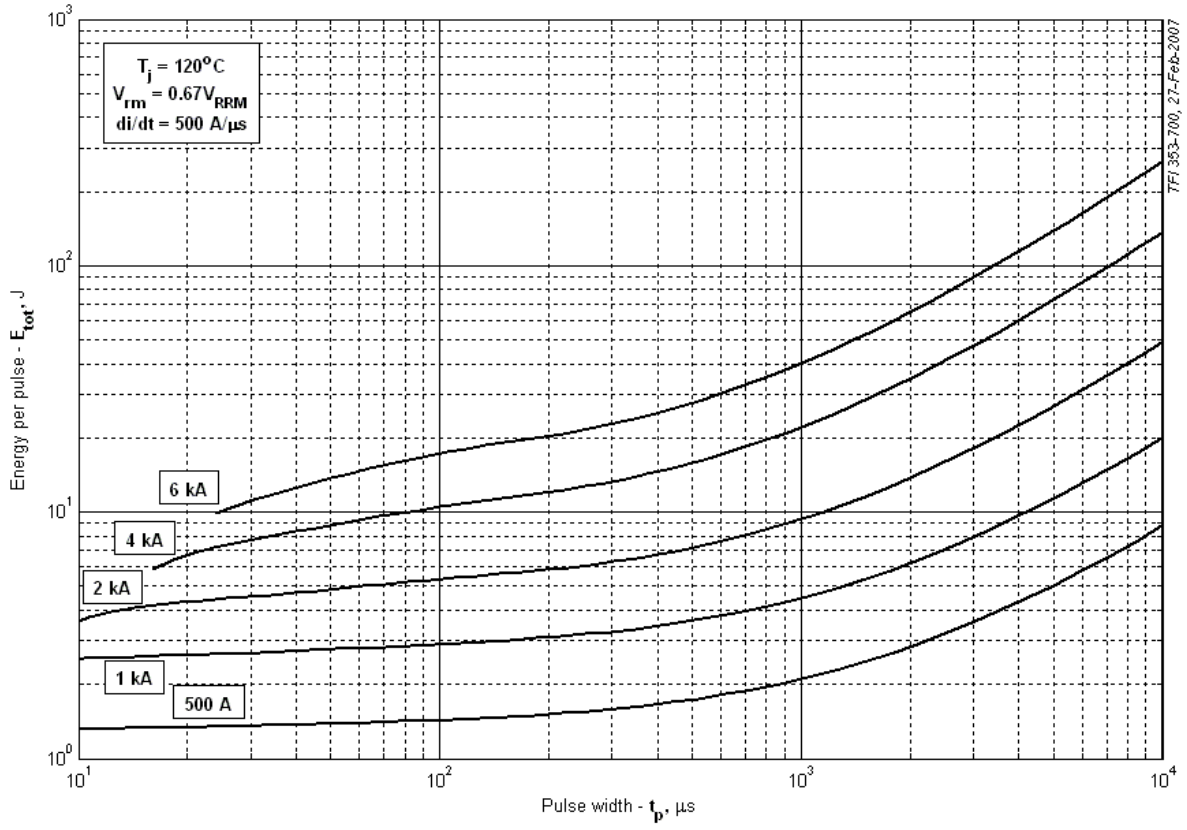

Fig 27 – Square wave energy per pulse

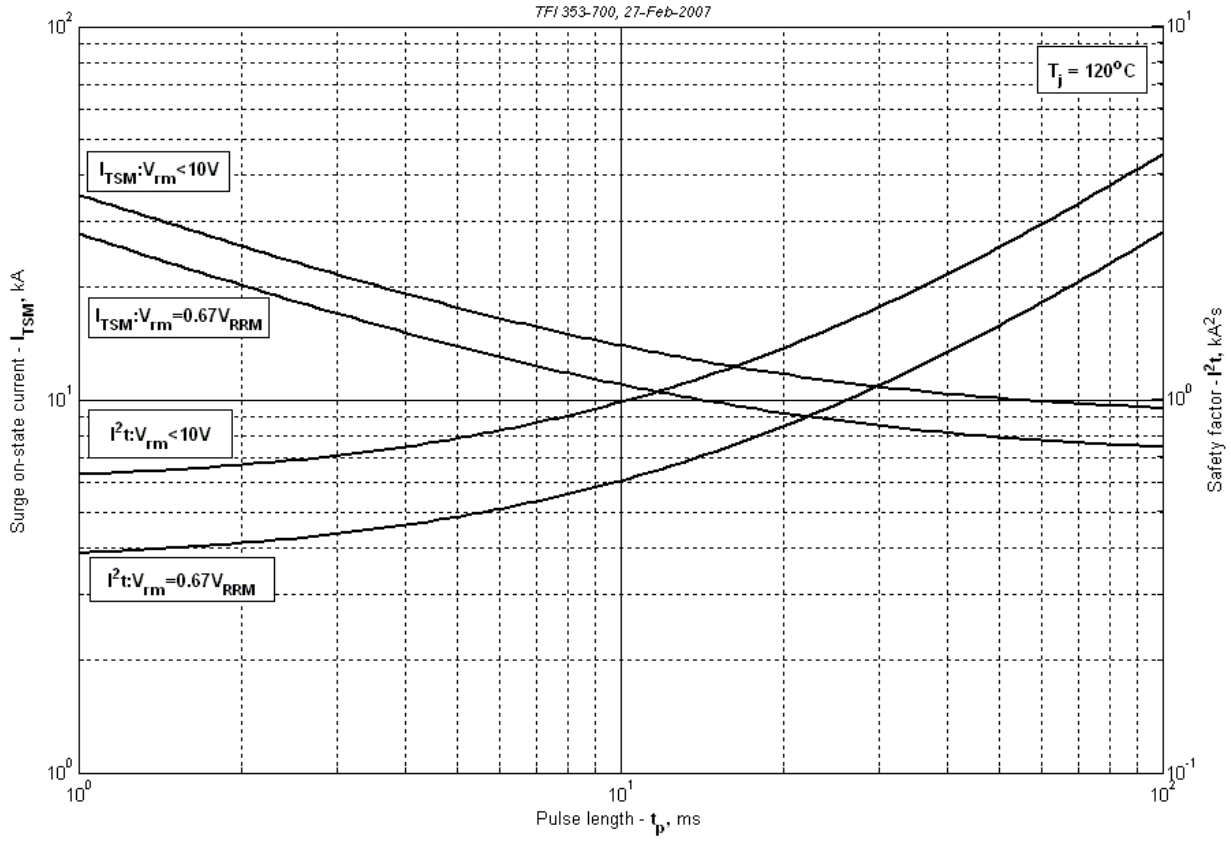

Fig 29 – Maximum surge and I^2t ratings

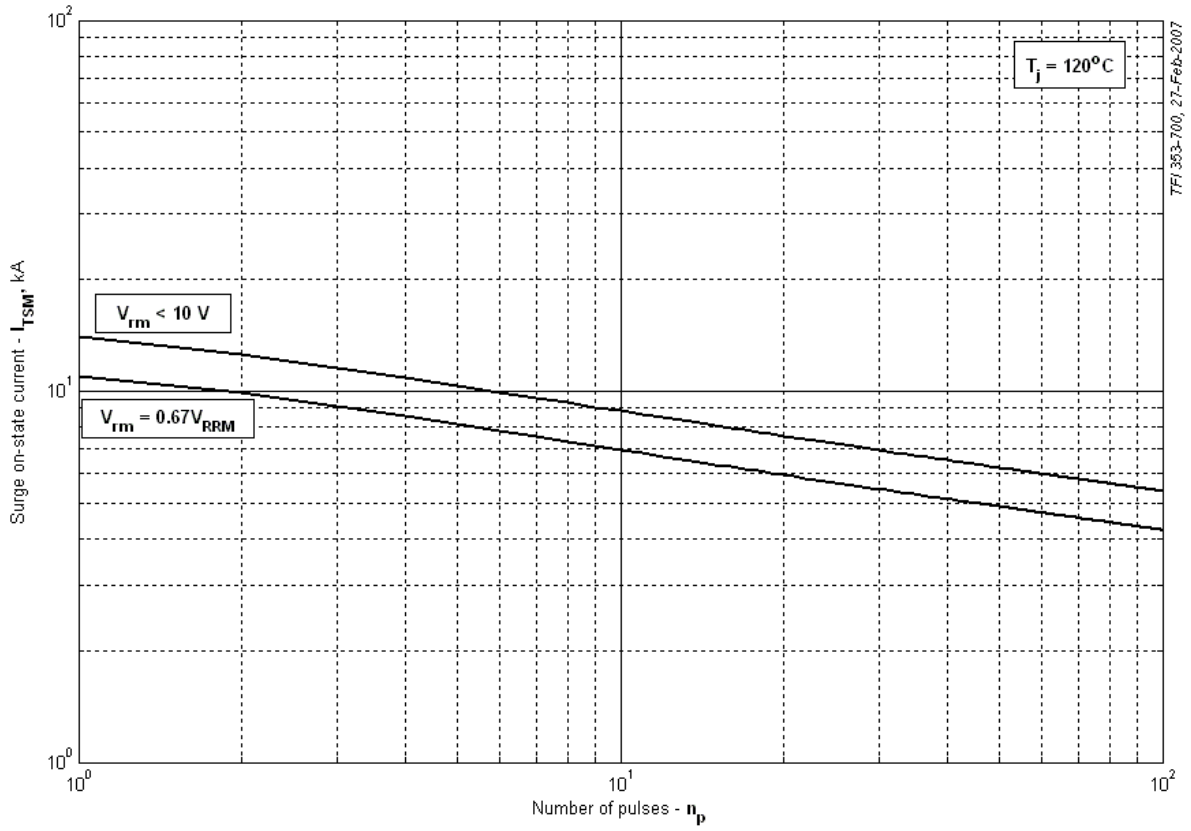

Fig 30 – Maximum surge ratings